

# 道路橋安全性の確率論的考察

大阪大学工学部 ○ 前田幸雄  
日本鋼管 宮村隆夫

## まえがき

道路橋主桁に作用する荷重あるいは応力に関する確率論的研究は数多く発表されてゐる。之等は大別して2つに分けられ、1つは等分布荷重に確率論的考察を加えて主として静的問題と対象としたもの<sup>1)~4)</sup>、今1つは疲労問題と対象とした最近の研究である。前者では橋梁上の車の存在台数と確率論的に求め、等分布荷重と総重量/支間長の形で評価あるものであるが、安全性の観点を含めても破壊確率の算定はできない。後者の中でも小島・條原の研究<sup>5)</sup>、自動車列モデルを設定し、自動車荷重による橋主桁の応答と動力学的に取扱つて作用応力振幅頻度を求めている。Tungの研究<sup>6)</sup>は橋主桁の応答がランダム・パルスの重ね合せとして表わされると考えて、作用応力ピーカー頻度分布を求めている。小西・竹村の研究<sup>7)</sup>では静的重ね合せの中に動的効果を係数として取り入れることにより橋主桁の応答が表わせると考え、Tungと同じ手法を用いて作用ピーカー頻度分布を求めている。本研究では上記の諸研究とは異つた概念に立たち、自動車重量分布、車頭間隔分布等の交通流に関する因子を用いて、道路橋主桁の作用応力ピーカー頻度分布を求める方法とのべ、之を適用した道路橋の静的・疲労安全性評価の一例を示したものである。

## 1. 作用応力推定法の基礎概念

### (1) 安全性検討に必要な応力

主桁に作用する応力の実測を行うと応力波形は平均的な波に高周波成分が重つたものとして得られる。しかし応力振幅の機械的計数は高周波成分を消去した後の波形に対して行なわれるのが普遍である。<sup>8)</sup>疲労の場合には一般に高周波成分を無視することは危険な場合があるが、過去の実験結果から高周波成分の応力振幅が平均的な波形の応力振幅に比して小さい時は無視しても影響がないことが知られていく。<sup>9)</sup>本研究では応力推定法として静的な形を基礎にある故に、高周波成分の影響は衝撃係数によつて考慮するものとして、対象波形は高周波成分を無視した平均的応力波形を考える。又静的取扱いでは各波のピーカー値のみを考慮すればよいか、疲労では応力波形の他に応力振幅を考慮する必要がある。しかし波形の極小値をすべて零と考えて解析すれば計数法としては安全側であり、従つて応力のピーカーの分布さえ求めれば静的・疲労の安全性の検討が可能となる。

### (2) ピーカー応力の発生条件

今、図-1のように單純ばかり上と集中荷重列  $P_1, \dots, P_N$  が<sup>10)</sup> 等速度  $V$  で動く状態を考えると、或る時刻  $t$  における支間中央曲げモーメント  $Y(t)$  は図-1の影響線を用いて

$$Y(t) = \sum_{i=1}^N (P_i \cdot a_i) \quad \text{----- (1)}$$

今  $P_1, P_2$  なる 2 つの集中荷重が同時に單純ばかり上を通過する時の支間中央曲げモーメントの瞬間的変化は図-2 のようになる。この場合の折衷はある集中荷重が橋に入る時、支間中央を通過する時、および橋から出て行く時に生ずる。え等の各々に  $Y(t)$

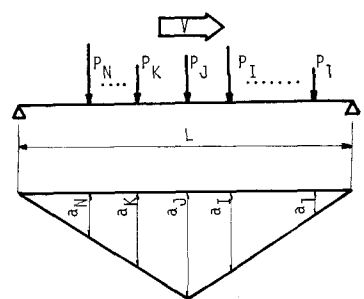


図-1 荷重列と支間中央曲げモーメント影響線

が“ $t$ ”と“ $t - \tau$ ”を生ずる爲の条件  $Y'(t-\tau) > 0, Y(t+\tau) < 0$  を適用して、 $Y(t)$  が“ $\tau$ ”を生ずる爲にはその瞬間に 1 台車が支間中央を通過することが条件となることが分る。又図-1 のように  $P_J$  が支間中央にあり、前後に  $P_1, \dots, P_j$  と  $P_k, \dots, P_N$  がある場合に上の条件を適用すると  $|\sum_{i=1}^j P_i - \sum_{i=k}^N P_i| < P_J \dots \dots \dots (2)$  が今一つの条件として求められる。又ピーク応力値は式(1)の  $Y(t)$  の応力変換によつて得らる。

### (3) ピーク応力分布の計算法

確率ぱりの支間中央卓のピーク応力分布計算法についての「支間中央でない場合や複数車線の場合も基本的には同じ手法を用ひ得る。計算方法としては」 1)  $P_J$  の確率密度函数  $f_J(x)$ 、これは自動車重量分布に他ならない。 2)  $P_J \cdot a_J$  の確率密度函数  $f_{J \cdot}(y)$ 、これは  $f_J(y/a_J)/a_J$  と表わし得る。 3)  $\sum_{i=1}^j P_i$  と  $\sum_{i=k}^N (P_i \cdot a_i)$  の同時確率密度函数  $f_I(x, y)$ 。今橋梁上の 1 台の自動車重量とそれによる曲げモーメントの同時確率密度函数と  $f_I(x, y)$  とする  $f_I(x, y) = f_I(x)/a_J \cdot x, a_J \cdot x \geq y \geq 0$ 、2 台の場合には  $f_I(x, y) = \int_0^y \int_{y-x}^x f_I(x-y, y-x) dx dy$ 、同様に 3 台の場合には  $f_3(x, y) = \int_0^y \int_0^{y-x} \int_{y-x}^x f_I(x-y, y-x) dx dy$ 、以下同様である。今支間長の  $1/2$  の区间内の自動車存在台数の分布が、0 台、1 台、2 台、…に応じて  $P(0), P(1), P(2), \dots$  によつて与えられると  $f_I(x, y) = f_I(x) \cdot P(0) + \sum_{i=1}^{\infty} \{f_i(x, y) \cdot P(i)\}$ 、ここで  $f_i(x) =$  ティラツクの超函数、又  $\sum_{i=1}^j P_i$  と  $\sum_{i=k}^N (P_i \cdot a_i)$  の同時確率密度函数  $f_K(x, y) = f_I(x, y)$ 。 4)  $|\sum_{i=1}^j P_i - \sum_{i=k}^N P_i|$  と  $\sum_{i=1}^j (P_i \cdot a_i) + \sum_{i=k}^N (P_i \cdot a_i)$  の同時確率密度函数  $f_{IK}(x, y)$ 、これを求めるには  $f_I(x, y)$  と  $f_K(x, y)$  を用ひて  $f_{IK}(x, y) = \int_0^y \int_{y-x}^{y+x} f_I(x-y, y-x) f_K(x-y, y-x) dy dx$ 。 5)  $\sum_{i=1}^N (P_i \cdot a_i)$  の確率密度函数  $f(y)$  は  $f_{J \cdot}(y)$  と  $f_{IK}(x, y)$  を用ひて  $f(y) = \int_0^y \int_0^{y-x} f_{J \cdot}(y-x) f_{IK}(x-y, y-x) dx dy$ 、この積分は 1 にならない。支間中央を 1 台の車が通過するごとにと 1 とした時に、ピークの発生しない確率だけ 1 より小さくなる。以上は曲げモーメントのみを扱つたが、応力への変換は容易にできる。

## 2. 交通流モデルと対象道路橋

### (1) 交通流

自動車重量分布、車頭間隔等の交通流に対する假定と、交通流諸因子の安全性への影響を調べる爲のモデルについて考察する。静的強度については<sup>10)</sup> SM50 の材料降伏点と用ひ、その分布型は計数正規分布、平均値は  $3750 \text{ kg/cm}^2$ 、変動係数は 0.08 とする。  
疲労強度については<sup>10)~15)</sup> SM50 の時間強度をとり、分布型は計数正規分布、200 万回時間強度の中央値を  $1500 \text{ kg/cm}^2$ 、従つて時間強度の計数平均値は  $\log(1500)$ 、S-N 曲線の傾きは固定量として平均値は 6.0、又寿命に対する標準偏差は 0.25 となる。

1) 自動車総重量分布：自動車輪荷重実測は最も多く発表されているが、自動車総重量の実測割合は極めて少く、図-3 はその一例である。<sup>23)</sup> 又一方総重量

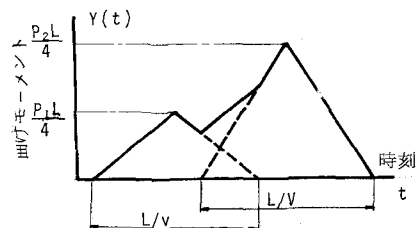


図-2 2ヶの集中荷重同時載荷の場合の  $Y(t)$  と  $t$  の関係

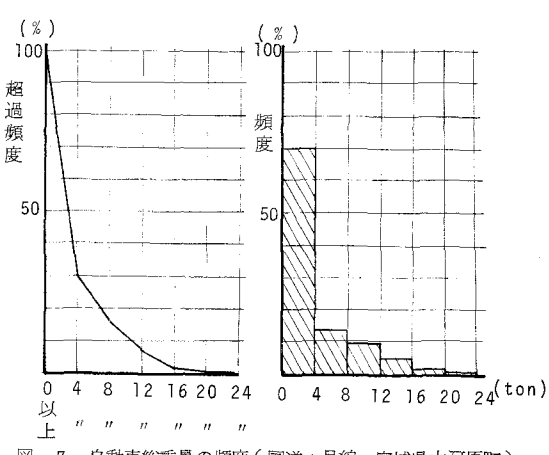


図-3 自動車総重量の頻度（国道4号線、宮城県大河原町）

の分布が重量群に従つて3つのモードをもつた分布形を示すことが報告されている。特に大型車については正規分布又はPearson系I型があつてはまるという報告もある。<sup>(16)</sup>ここでは自動車と小型車、中型車、大型車の3種から成るものとし、各車種毎に正規分布があつてはるとし、3つの正規分布を重ね合せることにより総重量の分布を表すこととした。表-1に示した標準

表-1 自動車總重量分布の標準ケース

ケースの車種別混合率および分布のパラメーターは、 $0, 4, 8, 12, \dots, 24$ トンにおける超過確率が図-3の実測値に傾向として一致し、全体としてやや大きめとなるようになつた。今大型車・中型車・小型車の確率密度函数を夫々  $\phi_1(x)$ ,  $\phi_2(x)$ ,  $\phi_3(x)$  とする時、混合率を  $\alpha_1, \alpha_2, \alpha_3$

車種	平均重量	重量標準偏差	混合率
大型車	20トン	6トン	0.02
中型車	10トン	4トン	0.23
小型車	2トン	1.2トン	0.75

とすれば“全体をおおう重量確率密度函数  $\phi_0(x)$ ”は  $\phi_0(x) = \alpha_1 \phi_1(x) + \alpha_2 \phi_2(x) + \alpha_3 \phi_3(x)$  ……(3)  
又正規分布が  $-\infty < x < +\infty$  の定義域をもつことから  $1 - \Phi_0(0) = \int_0^\infty \phi_0(x) dx < 1$  となる。 $\Phi_0(0) \approx 0$  である故に、之と無視してもよいが、 $\phi_0(x) = \phi_0(x) / \int_0^\infty \phi_0(x) dx$  の補正を行ふ。安全性におよぼす自動車總重量の影響を調べる爲、標準ケースに対する重量比を 0.8, 0.9, 1.0, 1.1, 1.2 と変化させ、又車種別混合率の影響を調べる爲、中・大型車混合比率 15%, 25%, 35% とした時の破壊確率  $P_f$  を静的と疲労について計算を行つた。その結果、重量比によつて両者共にかなりのゆき立つて  $P_f$  が変化することが分る。

2) 車頭距離分布：道路橋の安全性には橋上の自動車存在台数が重要な因子となる。その分布は2項分布又はボアソン分布に従うといわれ、ボアソン分布が2項分布の極限の形として得られるところから、之の研究にはボアソン分布を假定したものが多い。このことは車頭距離の分布と指數分布と假定する同じ意味を持つ。車頭距離分布と指數分布および“T”分布( $K=2$ )とした場合の比較計算と単位長当たりの存在台数  $\lambda = 0.01 \sim 0.03$  台/mについて、後述の1等橋、24m、外行と1等橋、40m、外行の静的と疲労の破壊確率を計算した結果、分布形による差が大きくなつたことから、車頭距離の確率密度函数が  $\mu = 0.02$  m の指數函数に従うものとし、従つて有限区間  $L/2$  内の自動車存在台数が “m” である確率  $P(m)$  は  $P(m) = (\mu \frac{L}{2})^m e^{-\mu \frac{L}{2}} / m!$  ……(4)。ここで “K=1” なる故  $\mu = K \lambda = \lambda = 0.02$  m。

## (2) 計算に用いた对象道路各橋

表-2 道路橋モデル

応力算定対象の道路橋は建設省土木研究所設計：沿岸

記号	橋格	幅員	支間長	部材	死荷重応力
ST1	1等橋	6m	40m	外行	1108 kg/cm <sup>2</sup>
ST2	"	"	"	中行	1045 "
ST3	"	"	24m	外行	888 "
ST4	"	"	"	中行	840 "
ST5	2等橋	"	"	外行	1122 "

有長と 8m、支間 40m で 5 台、24m で 3 台載荷とし、且つ互いに独立・集中荷重として取扱つた。橋軸に直角方向の載荷位置は 1 台当たりの占有幅を 2.75m として、着目部材箇所に最大応力を生ずる位置に配した。又衝撃の影響は現行示方書の衝撃係数によつて考慮した。中行については両車線の荷重につりて差がないので、1 車線につりてのみ自動車が支間中央を通過する時の状態を考えれば“他の車線につりても同様である”。外行についてはその直上の車線支間中央を自動車が通過する時ではなく、逆向車線につりても同様のことと考えるべきであるが、逆向車線支間中央を自動車が通過する際のピーク応力発生の確率は、例えば“最も影響の大きいと考えられる 2 等橋、外行につりて逆向車線支間中央を自動車が通過する時のピーク

応力分布を計算した結果、極めて小さなことを確認した。従つて対向車線の影響と無視することにする。尚安全性検討の際の載荷回数としては外行では1車線交通量、中行では2車線交通量ととねばよい。

### 3. ピーク応力分布計算の結果

ST-1～5における超過確率を活荷重と衝撃に對して計算した結果は図-4に示してある。外行については自動車が直上の車線支間中央と通過する場合を1とし、中行については何れか一方の車線支間中央と通過する場合を1としている。次によると中行よりは外行又は等橋よりは2等橋、40m支間より24m支間の方が超過確率が一定の応力レベルに対して大きいことである。主行の実働応力の調査による<sup>8), 12), 18)</sup>

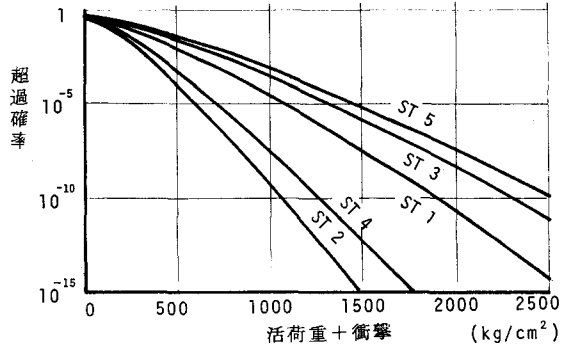


図-4 ピーク応力分布計算結果

と指數分布に近い形を示すことが報告されているが、本計算の結果を片対数座標上にプロットしたものは直線とはならず、やや曲った形となる。このことから本計算がかなり実情を反映し、主行応力が指數分布と正規分布の中間的な分布形を示すことが分る。従来からの応力推定法の研究では自動車重量分布を取り入れたものではなく、ここにのべた推定法と既往の研究結果との比較は難しい。

### 4. 静的破壊確率の計算

#### (1) 基本式

構造物又はその部材が安全であるかどうかは荷重と強度の大小によつて定まる。今荷重をS、強度をRとする。安全である確率  $P_S = P_f(S < R)$ 、破壊ある確率  $P_f = P_f(S > R)$  ……(5)

又  $P_S + P_f = 1$  である。しかし荷重又は強度の何れか一方が確率密度である場合、又は両者が何れも確率密度の場合には

$$P_f = \int_0^{\infty} f_S(y) \left\{ \int_y^{\infty} f_R(x) dx \right\} dy = \int_0^{\infty} f_S(y) F_R(y) dy = \int_0^{\infty} f_R(x) \left\{ \int_0^x f_S(y) dy \right\} dx = \int_0^{\infty} f_R(x) \{1 - F_S(x)\} dx \quad \dots\dots(6)$$

ここで  $f_S(y), F_S(y)$  = 荷重の確率密度函数と分布函数、

$$\text{又 } f_R(x), F_R(x) = \text{強度の確率密度函数と分布函数}.$$

もし道路橋のように耐用期間中の載荷回数が  $10^6 \sim 10^8$  回といふ場合には、一般に  $n = \text{荷重の載荷回数}$  とすれば、 $n$  回目に少くとも1回  $E(S > R)$  が生ずる確率  $P_{fn}$  は

$$P_{fn} = \int_0^{\infty} f_R(x) \left\{ 1 - \left( \int_0^x f_S(y) dy \right)^n \right\} dx = \int_0^{\infty} f_R(x) \left\{ 1 - F_S^n(x) \right\} dx \quad \dots\dots(7)$$

(2) 強度につけての影響因子：交通流のところで既述したと同じものを用ひる。

#### 5. 疲労破壊確率の計算

##### (1) 疲労被害則

有限寿命と設定する場合の疲労設計には疲労被害則、即ち疲労寿命推定法が不可欠のものである。疲労被害則に関する多くの提案がえきの研究によってなされてゐる。<sup>19)</sup> 主なものは直線被害則、直線被害則を修正した法則、疲労度と応力と繰返し回数の函数として導いた法則、亀裂の伝播より導いた法則、亀裂の発生過程と進展過程とに分け導いた法則、応力繰返し中の塑性歪みにもとづいて導いた法則、等である。しかし実働荷重に対する統一的な疲労被害則を導くことは現在のところ困難である。

土木以外の分野でも有限寿命設計をとり入れる場合の被害

則としては直線被害則又はその修正法則によらざると得ないのが実情である。一定応力振幅の場合の実験結果、即ちS-N曲線から疲れ寿命を推定するにあらわるマイナーリーとよばれる直線被害則が広く用いられてきたが、実働応力はその殆んどが過小応力から成り立つことから、実働応力に対して直線被害則を用いて寿命推定を行うことは危険である。その結果、直線被害

則を修正する試みがなされ、又その可否について多くの実験的研究がなされてきたが、まだ明快な解説がない。しかし多くの研究者は修正法として修正直線被害則又はCorten-Dolanの方法を推奨している。実際に作用する応力は過小応力の割合が大きく、又過小応力が大部分であるところから、本研究では図-5(a)なる基本S-N曲線に付して、疲れ限度で水平としないで疲れ限度以上のS-N曲線の傾きを疲れ限度以下に延長した図-5(b)の修正直線被害則を用いることにした。

## (2) 計算上の假定

1) 基本S-N曲線に関する假定、図-6：

基本S-N曲線は両対数座標上で直線である。耐久限度は200万回時強度上に一致する、即ち $N > 2 \times 10^6$ 回でS-N曲線は水平となる。疲れ限度のばらつきは時強度(又は寿命のばらつき)により表わすことができる、S-N曲線の傾き $\theta$ は確定量である。

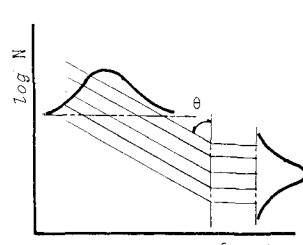


図-6 基本S-N曲線

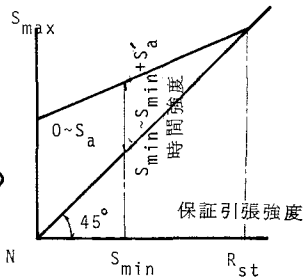


図-7 修正Goodman図表

2) 最小応力(死荷重応力)の補正に関する假定：最小応力は確定量である。最小応力の補正是修正Goodman図表(図-7)による。修正Goodman図表は直線で表わされるものとし、静的強度としては保証引張強度と用いる。

3) 過小応力の考慮に関する假定：過小応力の影響は修正直線被害則により評価できるものとする。

## (3) 安全性検討の基本式

$$\text{静的破壊確率の算定式は } P_f = P_f \left( \frac{S}{R} > 1 \right) = P_f (S > R) \quad \dots \dots \dots (8)$$

$$\text{疲労破壊確率の算定式は } P_f = P_f \left( \sum_{i=1}^n \frac{S_i^\theta}{N_0 S_0^\theta} > 1 \right) \quad \dots \dots \dots (9)$$

ここで $S_i$ は $i$ 回目の載荷による応力、 $n$ は載荷回数、 $N_0$ は応力 $S_0$ における疲れ寿命、 $\theta$ はS-N曲線の傾きである。式(9)はS-N曲線が両対数座標上で直線となることと、修正直線被害則が成立することを前提としている。以下に式(9)のかつての諸量の性質を考えて式(9)の変形を試みる。

1)  $n$ ：今1日の交通量の測定を多數回行うと、その結果1日交通量の分布が「逆Z」形、平均値1000台、標準偏差1500台が得られ、従って変動係数0.15となる。今1年を365日、耐用年数を50年とすると耐用年数中の交通量の平均値、標準偏差は中心極限定理により  $\mu = 10,000 \times 365 \times 50$ ,  $\sigma = 1500 \sqrt{365 \times 50}$ となり、従って変動係数は0.00111となり、これは確定量として取扱つてよい。

2)  $\sum_{i=1}^n S_i^\theta$ ：道路橋の耐用年限中の載荷回数は極めて多く、上のべたと同じ理由から、このばらつきを考慮する必要はない、 $\sum_{i=1}^n S_i^\theta = n \int_{-\infty}^{\infty} S^\theta f(S) dS$ として $S^\theta$ の期待値をn倍すればよい。

3)  $\theta$ : 疲労強度に関する因子は  $\theta$  と  $N_0$  であるが、疲労強度のはらつきを考慮する場合は何れか一方と確定量と考え、はらつきを一つの因子で代表させることができる。ここで  $\theta$  を確定量として  $N_0$  ではらつきを考慮することにする。

以上のことから式(9)を変形して  $P_f = P_f \left( \frac{N}{N_0 S_0^\theta} \int_0^\infty S^\theta f(s) ds > 1 \right)$  .....(10)  
ここで、 $N$  = 載荷回数(確定量),  $N_0$  = 応力レベル  $S_0$  で単独に載荷した時の破壊までの繰返数(確率量),  $S_0$  = 基準となる応力レベル(確率量),  $\theta$  = (確定量),  $S$  = 応力レベル(確率量),  $f(s) = s$  の確率密度関数、即ち治荷応力と衝撃による応力の確率密度関数である。式(10)を更に書きかえると、

$$P_f = \int_0^C f_{N_0}(x) dx, \quad \text{ここで } f_{N_0} = 0 \sim S_0 \text{ の片振疲労寿命の確率密度関数。} C = \frac{N}{S_0^\theta} \int_0^\infty S^\theta f(s) ds \quad \dots(11)$$

## 6. 計算結果

安全性に関する強度上の因子について次は文  
通流の諸因子の影響の計算のところでのべた  
と同じ数値資料を用い、静的的と疲労の破壊確  
率  $P_f$  を夫々式(7)と式(11)から計算できる。その  
結果を示すと図-8の如くで、一実験線は  
静的の場合、実線は疲労の場合を示す。对象と  
した道路橋の中で ST-5, RP52等橋, 24m, 外  
行の場合が静的・疲労共に  $P_f$  が“大”で、以下  
ST-3, 1等橋, 24m, 外行; ST-1, 1等橋,  
40m, 外行; ST-4, 1等橋, 24m, 中行, ST-2,  
1等橋, 40m, 中行の順位となり、ピーク応力の超過確率の大きさに対応している。ST-5につ  
いてみると  $N < 6 \times 10^8$  位では静的破壊が支配し、それより回数が多くなると疲労が支配するところがある。  
この傾向は他の橋についても同じであるが、ST-1では実用上静的破壊が支配されるとみなし得る。

## 7. 拡張信頼性理論の適用

### (1) 静的的破壊への適用の問題点

Angは構造物の静的確率設計に対し、拡張信頼性理論を発表した。<sup>20), 21)</sup> 又、耐風設計に応用し  
て実際的な応用例を示した。<sup>22)</sup>

拡張信頼性理論と道路橋の静的的問題に適用する場合、耐風設計にはない新しい問題が生ずる。  
風荷重は純粹な自然現象とみなされ、従つて耐用年限中の経年変化を考える必要がない。しかし道  
路橋主荷重の交通荷重による応力は、統計的な性質をもつことは確かであるが、純粹な確率現象ではなく、人間による制御が可能であり、従つて耐用年限中の経年変化を考慮する必要がある。又道路橋の  
作用応力の年最大応力の測定資料があるわけではなく、極めて限られた期間中の資料があるにすぎない。  
その他耐用年限中の載荷回数についても風の場合には荷重として年最大風速を用いるならば載荷  
回数が即ち耐用年限であるのに反し、交通荷重の場合には載荷回数も予測されなければならぬ。従  
つて交通荷重の場合、風荷重と比較して構造物の安全性に影響する要素の中で、荷重と強度の分布形  
の選択、およびそからのパラメーターの推定の中に、共に主観的不確実性が存在するが、交通荷重の  
場合、極端統計資料としての載荷回数、経年変化も亦主観的不確実性を有し、従つて耐風設計

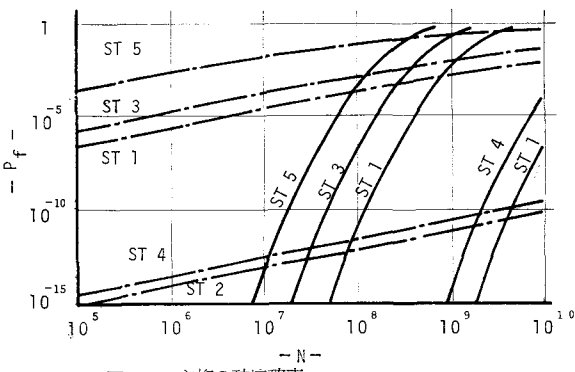


図-8 主桁の破壊確率

以上に拡張信頼性理論の適用の可能性がある。

しかし  $Ang$  の方法に想られるように  $P_o[P_r(R < \nu S)]$ ,  $P_s(P_r(N > h\nu))$  と  $P_o = P_s = \sqrt{P_f}$  としたのでは古典的信頼性理論の欠陥が依然として残ることになり、その場合には  $P_o = 10^{-4}$  程度に固定し、且つ  $P_s = P_f/P_o$  から定める必要があり、従って  $P_o = P_s = \sqrt{P_f} = 10^{-3}$  に近づいて求めた係数  $h$  (= 容観的不確実性と主観的不確実性に関する項を分離し、かつ採用する分布関数による結果の敏感性を減らす為の係数) をそのまま用いることができる、新しく  $h$  を求める必要がある。今後の研究の問題である。

## (2) 疲労破壊への適用の問題

疲労破壊確率の算定式が式(10)で表わされる場合には、主観的不確実性の導入は次のように行うことができる。式(10)で「主観的不確実性を考慮すべき要素は  $n$ ,  $S$ ,  $N_s$ 」である。之等の主観的不確実性と  $N_n'$ ,  $N_s'$ ,  $N_{N_0}'$  とすると、 $N' = N_n' \cdot N_s^{\theta} \cdot N_{N_0}'$ ,  $\bar{N}'$  (平均値) =  $\bar{N}_n' \cdot \bar{N}_s^{\theta} \cdot \bar{N}_{N_0}' = 1.0$ ,  $\Delta N'$  (変動係数) =  $\sqrt{\Delta \bar{N}_n'^2 + \Delta \bar{N}_s'^2 + \theta \Delta N_s'}$  を用いると式(10)は

$$P_f = P_r \left[ \frac{(n \cdot N_n')}{\left( \frac{N_0}{N_n'} \right) S_0^{\theta}} \int_0^{\infty} (N_s' \cdot S)^{\theta} f(s) ds > 1 \right] = P_r \left[ N' \frac{n}{N_0 S_0^{\theta}} \int_0^{\infty} S^{\theta} f(s) ds > 1 \right] \quad \dots \dots \dots (12)$$

又、疲労強度と  $N_0$  (壽命)で「 $n < S_0$ 」を表す時には上式に對応して  $N' = N_n' \cdot N_{S_0}^{\theta} \cdot N_{S_0}'$ ,  $\bar{N}' = \bar{N}_n' \cdot \bar{N}_{S_0}^{\theta} \cdot \bar{N}_{S_0}' = 1.0$ ,  $\Delta N' = \sqrt{\Delta \bar{N}_n'^2 + \theta \Delta N_{S_0}^2 + \theta \Delta N_{S_0}'}$  を用いると

$$P_f = P_r \left[ \frac{(n \cdot N_n')}{N_0 \left( \frac{S_0}{N_{S_0}'} \right)^{\theta}} \int_0^{\infty} (N_s' \cdot S)^{\theta} f(s) ds > 1 \right] \quad \dots \dots \dots (13)$$

又容観的不確実性と主観的不確実性に関する項を分離した式は

$$P_f = P_r \left[ \nu' \frac{n}{N_0 S_0^{\theta}} \int_0^{\infty} S^{\theta} f(s) ds > 1 \right] \cdot P_r [N' > h'\nu'] \quad \dots \dots \dots (14)$$

更に実際の計算に便なるように書きかえると式(12)と式(14)は次々

$$P_f = P_r \left[ N \cdot \left( \frac{n}{N_0 S_0^{\theta}} \int_0^{\infty} S^{\theta} f(s) ds \right)^{\frac{1}{\theta}} > 1 \right] \quad \dots \dots \dots (15)$$

$$P_f = P_r \left[ \nu \left( \frac{n}{N_0 S_0^{\theta}} \int_0^{\infty} S^{\theta} f(s) ds \right)^{\frac{1}{\theta}} > 1 \right] \cdot P_r [N > h\nu] \quad \dots \dots \dots (16)$$

ここで  $N = (N')^{\frac{1}{\theta}} = N_n^{\frac{1}{\theta}} \cdot N_{S_0}^{\frac{1}{\theta}} \cdot N_s^{\frac{1}{\theta}}$ ,  $\bar{N} = \bar{N}'^{\frac{1}{\theta}} \cdot \bar{N}_{S_0}^{\frac{1}{\theta}} \cdot \bar{N}_s^{\frac{1}{\theta}} = 1.0$ ,  $\Delta N = \frac{1}{\sqrt{\theta}} \Delta N' = \sqrt{\frac{1}{\theta} (\Delta \bar{N}_n'^2 + \Delta N_{S_0}^2 + \Delta N_s^2)}$ 。

式(15)と式(16)は更に次のようにならべて  $Ang$  が「静的的問題」に對して導いた式と同じ形の式に變形できる。

$$P_f = P_r [S_0 < NC] \text{ および } P_f = P_r [S_0 < \nu C] \cdot P_r [N > h\nu] \quad \dots \dots \dots (17)$$

ここで  $C = \left( \frac{n}{N_0} \int_0^{\infty} S^{\theta} f(s) ds \right)^{\frac{1}{\theta}} = \text{一定}$ 。

$S_0$  と  $C$  は静的の場合の  $R, S$  に夫々対応し、且つ  $S$  が「確率密度数である」に對して、 $C$  が「確定量となるところが静的との差異である。式(17)が「拡張信頼性理論と用いる時の疲労破壊の基本式」である。疲労問題では生起確率の極めて小さい大荷重ではなく、普通に現れる強度の大きさの荷重が对象になるので、得られた頻度分布そのものを用いることができる。分布密度選択の問題は疲労強度についてのみ考慮すれば「よく、荷重については資料が多くれば「分布密度数のあつためが必要でない。 $Ang$  は静的設計基礎式の  $h$  を定めるに当つて、対数正規分布の荷重と強度を基準にしてゐる。従つて式(16)の中の  $h$  を定めるには対数正規分布強度を基準にとるならば「 $Ang$  が「静的的問題」について求めた  $h$  の値を用いることができる。」

## あとがき

道路橋主桁の安全性を取扱う前に著者は、本論文でのべたが、前もつて次のことを検討した。即ち古典的信頼性理論にもとづき、荷重・静的強度・疲労強度に関する諸因子が安全性にあらわす影響を調べた。又、疲労安全性評価に必要な疲れ被害則の広範な調査と検討を行った結果、修正直線被害則を採用し、それにもとづく安全性検討基礎式を式(10)の形で導いた。更に静的安全性の評価と設計は一般的に複雑な数値計算によらなければならぬが、疲労安全性の評価と設計は2～3の数表があれば殆んどの分布関数について比較的簡単な手計算により可能であることを明かにした。

本論文では道路橋主桁の安全性の評価に当つて応力推定法を考案し、その基礎概念と具体的な計算法を示した。又実際の道路橋に適用してこの推定法が実情を比較的良く反映していることを明かにすると共に、実際の道路橋の安全性に交通流に関する諸因子、即ち自動車重量分布、自動車車頭面隔分布がいかに影響あるかも調べた。之等の検討結果と豫備研究で求めた破壊確率計算の基礎式を用ひて、5種類の車両合成荷重下の主桁の静的および疲労破壊の確率を計算した。その結果、1日凡そ10,000台の交通量で50年位の耐用年数のもとでは対象とした橋主桁に関する限り、静的破壊の方が支配的であることが明かにされた。

最後に拡張信頼性理論の道路橋安全性評価への適用について述べ、静的・疲労共に主觀的不確実性をとり入れる必要があることを説明し、ついで静的および疲労問題への適用について論じ、更に拡張信頼性理論にもとづく疲労安全性評価の基礎式を式(17)の形で説明した。

## 参考文献

- 1) 中川建治：換算等分布荷重の確率論的考察、土・論文集、第127号、昭41.3.
- 2) 中川建治：ばかりに作用する荷重の統計的取扱いについて、土・論文集、第175号、昭45.3.
- 3) 中川建治：静荷重に対するばかりの応答の極値に関する2,3の考察、土論文集、第183号、昭45.11.
- 4) I.Konishi, M.Shinozuka : Stochastic Study on Uniform Live Load in Design of Highway Bridge, Symp. on Loading of Highway Bridges, IABSE, Stockholm, 1956.
- 5) M.Shinozuka, T.Kobori : Fatigue Analysis of Highway Bridges, Tech. Rept. B, Columbia Univ., Jan. 1971.
- 6) C.Tung : Life Expectancy of Highway Bridges to Vehicle Loads, Proc. ASCE., EM6, Dec. 1969.
- 7) 小西・竹村：走行荷重による道路橋の疲労寿命確定に関する確率統計的研究、第18回橋梁構造工学研究発表会、昭46.12.
- 8) 国村宏一：応力頻度の測定について、JSSC, Vol.5, NO.43, 1969.
- 9) 田中道士：実働荷重の解析と寿命設計、成学会誌、第73巻、621号、昭45.10.
- 10) 西村 昭：鋼材の機械的性質のはらつきについて、JSSC, Vol.5, NO.48, 1969.
- 11) 横畠武夫：材料強度学、技報堂、昭42.
- 12) 日本国金属学会：金属材料の強度と破壊、丸善、昭45.
- 13) T.R.Gurney : Investigation into Fatigue Strength of Welded Beams, Part II, British Weld. J., July, Sept. 1962
- 14) H.S.Lew, A.A.Toprac : Fatigue Strength of Hybrid Plate Girders under Constant Moment, Highway Research Record, NO.167, 1967.
- 15) 伊藤文人、他：80kg/mm<sup>2</sup>高張力鋼鋼梁の曲げ疲労試験、土木学会、第26回年次講演集、昭46.10.
- 16) 西村 昭：疲労破壊の確率と橋の疲労設計について、土・論文集、第68号、昭35.5.
- 17) 国広哲男：橋梁の応力頻度と車輪荷重調査、JSSC, Vol.5, NO.43, 1969.
- 18) 大島久：既設橋梁の応力頻度と載荷状況について、JSSC, Vol.5, NO.43, 1969.
- 19) 山田敏郎：疲れ被害則の展望、成学会誌、73巻621号、昭45.10.
- 20) A.H.-S.Ang, M.Amin : Safety Factors and Reliability in Structural Design, Proc. ASCE, ST7, July 1969.
- 21) A.H.-S.Ang : Extended Reliability Basis of Structural Design under Uncertainties, 9th Reliability and Maintainability Conf. SAE/AIAA/ASME, Detroit, July 1970.
- 22) A.H.-S.Ang, M.Amin : Formulation of Wind-Resistant Design Based on Acceptable Risk, 3rd Int. Conf. on Wind Effects on Buildings and Structures, Tokyo, Sept. 1971.
- 23) 交通荷重の実態と道路橋への影響、研究資料、626号、昭45.10